

© 1983 ISIJ

## 鉄の粒界に偏析したリンの化学結合状態

論文

安彦 兼次\*・鈴木 茂\*・木村 宏\*

## Chemical State of Phosphorus Segregated at Grain Boundaries of Iron

Kenji ABIKO, Shigeru SUZUKI, and Hiroshi KIMURA

## Synopsis :

Determination of the chemical state of phosphorus segregated at grain boundaries of iron is important to discuss mechanisms of the grain boundary decohesion by phosphorus. X-ray photoelectron spectroscopy (XPS) analysis and the scanning Auger electron spectroscopy (AES) analysis were performed to determine the chemical state of segregated phosphorus.

Specimens of iron containing various amount of phosphorus (0.05 to 15.6 wt%) were fractured under a vacuum better than  $6 \times 10^{-11}$  Torr. The clean ultra-high vacuum allows a prolonged XPS analysis ( $\sim 10$  h) which is necessary for a small amount of phosphorus segregated at grain boundaries. The spectra were compared with those from an Fe<sub>3</sub>P specimen, and the chemical state of the segregated phosphorus was determined to be the same as phosphorus in Fe<sub>3</sub>P. This result supports the grain boundary decohesion mechanism proposed by Losch, who considers the segregated phosphorus atoms to form a strong binding with surrounding iron atoms and the iron-iron binding neighboring the phosphorus to be weaken.

The shape of AES of phosphorus in solid solution varies with the concentration of phosphorus, but that of phosphorus at grain boundaries is independent of the phosphorus concentration and same as that of phosphorus in Fe<sub>3</sub>P. Importance of the variation of the shape in the AES quantitative analysis of segregated phosphorus is discussed.

## 1. 緒 言

P の粒界偏析が鉄鋼の粒界脆性の原因となることは、Ni-Cr 鋼、Cr-Mo 鋼などの焼もどし脆性にその例を見るように、よく知られた事実である。また、電解鉄程度の純鉄でも炭素量の少ない時は P による粒界脆化がおこる<sup>1)</sup>。しかし、P に代表されるような不純物の偏析による粒界結合力の低下の機構については、原子論的、電子論的な試論がいくつか提案されているが、いまだ理論的、実験的に確立された考え方ではない。SEAH<sup>2)</sup>は、粒界に偏析した不純物は粒内に固溶しているときと同じ結合様式で Fe 原子と結びついており、また破壊は Fe 原子と不純物原子との間の結合がきれることでおこると仮定して、種々の不純物による粒界脆化の程度を議論している。その議論においては、粒界偏析した不純物に対して稀薄正則溶液の近似を用いるなど現実的でない点があり、かならずしも事実をよく説明しているとは言えない<sup>3)</sup>。一方、LOSCH<sup>4)</sup>は、粒界偏析した不純物原子は周囲の Fe 原子と共有結合的な強い結合をし、そのため不純物原子になり合っている Fe 原子とさらにそのまわりの Fe 原子との間の結合が弱められていると考えている。この場合、

破壊は不純物原子と Fe 原子との間ではなく、不純物原子のまわりの Fe 原子同志の結合をきつて伝播することとなる。同様の考え方には石田ら<sup>5)</sup>、MESSMER ら<sup>6)</sup>によつても提唱されており、これに対する実験的な支持は、鉄の粒界に偏析した Sn のメスバウワー効果の測定<sup>5)</sup>、ニッケルの表面に偏析した S の電子状態の研究<sup>7)</sup>によつてあたえられているが、鉄鋼中でもつとも問題とされている P が粒界偏析した時の化学結合状態については、いまだ実験結果は報告されていない。

原子の化学結合状態の研究に適した手段として X 線光電子分光法 (XPS) があるが、これは感度が低いため、粒界偏析のように測定にかかる不純物量が少ないと (粒界面での不純物濃度はかなり高いが、偏析層の厚さが数原子層ときわめて薄いため、分析される不純物量は少ない) 場合には、長時間にわたってデータを集積しなければならない。ところが、分析器の真空度が十分でないと、真空槽内で試料を破壊して粒界面を露出させた時、真空槽中の残留ガスで短時間のうちに汚染され、長時間にわたって清浄な破面で分析することが難しい。したがつて、XPS による偏析不純物の状態分析は従来全く行われていなかつた。また、表面 (粒界) 分析手段としてはオ-

昭和 57 年 6 月 14 日受付 (Received June 14, 1982)

\* 東北大学金属材料研究所 工博 (The Research Institute for Iron, Steel, and Other Metals, Tohoku University, 2-1-1 Katahira Sendai 980)

ジエ電子分光法(AES)があり、これは感度が高く測定は短時間ですが、オージェ電子エネルギー分布は原子の化学結合状態に敏感でないとされており、このためにAESを状態分析に積極的に利用しようという試みはほとんどなされていない。われわれは、AESおよびXPSを、同一分析器中で、残留ガスによる破面汚染のほとんどおこらない超高真空中で行うことに成功し、鉄の粒界に偏析したPの化学結合状態についていくつかの情報を得ることができたので報告する。

## 2. 実験方法

### 2.1 試料

電解鉄(マイロン)を高周波真空溶解し、白鉄を添加して脱酸したのち、Fe-25%P母合金を添加して金型に鋳造しFe-P合金インゴットを作つた。これに、1000°Cから800°Cの間で熱間加工を加えて、直径4mmの丸棒としたのち、機械加工によって直径3.6mm、長さ32mmの試験片とした。さらにこれに800°Cで12hの湿水素処理、800°Cで12hの乾水素処理を行つて、C量を10ないし20wt ppmとした。これらの試験片はすべて900°Cに30min保持してから油焼入された。したがつて、組織は $\alpha$ 相単相である。光学顕微鏡および50000倍程度の透過電子顕微鏡観察によれば、粒内、粒界のいずれにも炭化物もしくはリン化物の析出は見られなかつた。なお、溶製した合金の組成は、Pを0.05から2.8wt %まで7種類とつてあり、Si, Mn, Al, Sはそれぞれ、0.005, 0.005, 0.003, 0.003wt %の程度であり、Oは50wt ppm以下である。

試験片にはVノッチをつけ、超高真空の分析器中で約170K以下に冷却してからノッチ部で破断し、そのまま走査オージェ電子分光(SAM)またはXPS分析を行つた。XPS用試験片は、Vノッチをつけたのち、表面全体に10μ程度の厚さにAuを蒸着した。これには2つの目的がある。第1に、XPS法においてはX線ビームの直径が約5mmと太いため、試験片の破面のみならずノッチ部および側面まで分析領域に入つてしまふ。Auを蒸着することでこれらの領域からの不必要かつ有害な情報を遮断できる。第2に、このAuの4f<sub>7/2</sub>の結合エネルギーを光電子エネルギー測定の基準として用いることでエネルギー分析の精度を向上させ得る。

### 2.2 SAMおよびXPS分析

SAMはPHI社590型、XPSは同社550型を用い、次の条件で測定した。

SAM分析:

試験片破断時の真空度 4~6×10<sup>-11</sup>Torr

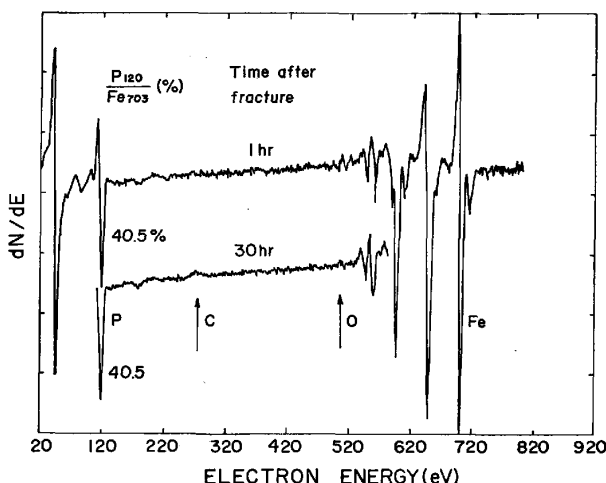


Fig. 1. AES from a grain boundary fracture surface taken 1h and 30h after breaking the specimen under ultra high vacuum better than  $8 \times 10^{-11}$  Torr.

SAM分析中の真空度	$4 \sim 8 \times 10^{-11}$ Torr
電子線加速電圧	3 kV
モジュレーション	3 eV(または1 eV)
試料電流	100 nA
電子線径	約5μ
SAM分析時間	破断後1h以内、残留ガスによる破面の汚染の有無を調べる目的の場合は破断後48hまで分析した。

ここで試料電流に注意されたい。これは通常マイクロビームオージェ電子分光装置で用いられているものの約1/100であり、試料電流密度は5mA/mm<sup>2</sup>である。このため、時々心配されるような電子線照射による分析場所での局部的温度上昇は問題にならない。

### XPS分析:

試験片破断時の真空度	$4 \sim 6 \times 10^{-11}$ Torr
XPS分析中の真空度	$< 2 \times 10^{-10}$ Torr(X線源の発熱量が大きいので真空度が低下する)
X線源および加速電圧	MgK <sub>α</sub> , 10 kV
エミッション	40 mA
パスエネルギー	50 eV
XPS分析時間	破断後10hにわたってデータを集積

## 3. 実験結果および考察

### 3.1 測定中の残留ガスによる破面の汚染

Fig. 1はFe-1.0%P合金の破面における粒界部分についてのオージェスペクトルである。残留ガスによる汚染はC, Oのピークの出現となつて検出されるが、これは破断後30hでようやく検出される程度である。ま

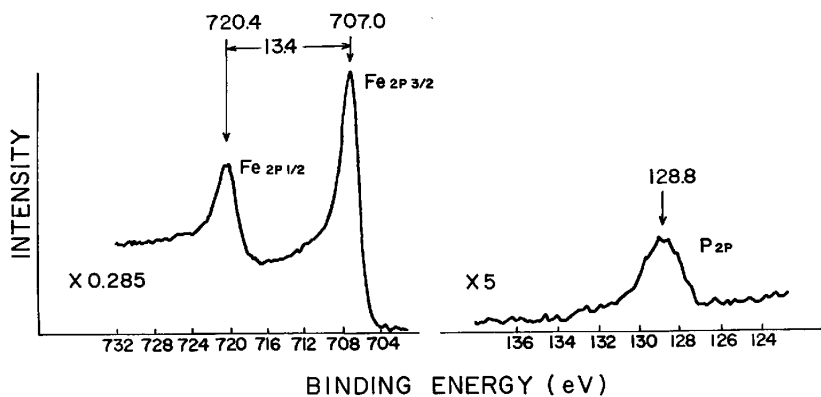


Fig. 2. XPS for iron and phosphorus from the fracture surface of an Fe-1.0%P alloy specimen. The specimen was fractured in the analyzing chamber.

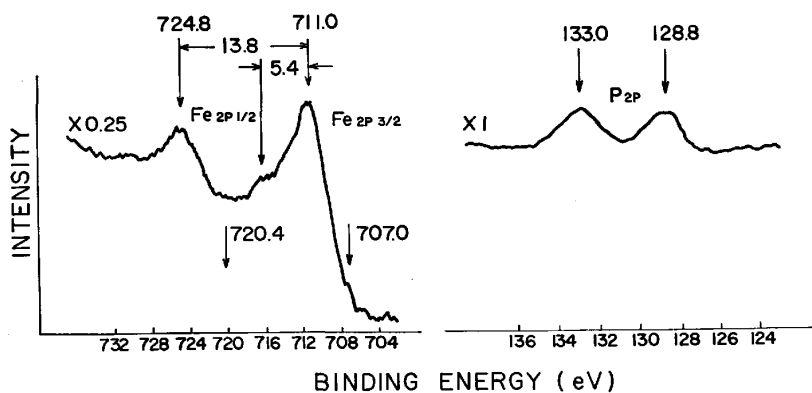


Fig. 3. XPS (for Fe and P) from an  $\text{Fe}_3\text{P}$  specimen exposed to the air.

た、P(120 eV) と Fe(703 eV) のピーク高さ比は 40.5 %で、これも 30 h で変化なかった。図には示していないが、本実験ではへき開面は粒界面よりも汚染されやすく、10 h でわずかながら C, O のピークが認められた。また、へき開面では汚染の進行にともない  $P_{120}/Fe_{703}$  は若干減少する。これは、へき開面では分析にかかる P 量が少ない上に、P のオージェ電子の方が Fe のオージェ電子よりも低エネルギーのため脱出深さが浅く、表面に吸着した C, O によってオージェ電子が遮へいされる割合が、P の方が大きいためである。真空の質にもよるので、いちがいには言えないが、 $8 \times 10^{-11}$  Torr よりよい真空中であれば、偏析した C, O を吸着した C, O と混同することなく、必要に応じて十分の時間をかけて、AES 分析を行うことができるといえよう。

XPS 分析では、 $\text{MgK}\alpha\text{X}$  線源の温度があがるので測定中の真空度が低下する。本実験では微量の P の分析を行うため 10 h にわたって測定を行い S/N 比を向上させた。この時の真空度は  $2 \sim 3 \times 10^{-10}$  Torr であった。測定のはじめと終わりで SAM 分析を行ったところ、残留ガスによる汚染 (C, O) が認められた。この汚染によつて P の結合状態が変化すれば、ピークが 2 つ以上現われるか、スペクトルが拡がるはずであるが、得られたピークは 1 つでその拡がりは他の場合に比べてとくに大きいとは言えない程度であった(次節)。したがつて、わずかな

C, O の汚染によつては粒界偏析した P の化学結合状態は変化しないと考えられる。

### 3.2 粒界偏析した P の XPS 分析

Fig. 2 は  $5 \times 10^{-11}$  Torr の真空中で破断し、常に  $3 \times 10^{-10}$  Torr よりもよい真空中で行つた Fe-1.0%P 合金の XPS 分析の結果である。破面は 100% 粒界破面に近く、P に関して得られた情報は粒界偏析した P についてのものである。Fe $2p_{1/2}$ , Fe $2p_{3/2}$  と P $2p$  のスペクトルだけを示してある。Fe $2p_{1/2}$ , Fe $2p_{3/2}$  のスペクトルは、それぞれ 720.4 eV, 707.0 eV に位置し、これは金属状態の Fe のスペクトルである<sup>8)</sup>。P のスペクトルは 128.8 eV に位置している。これらの値は Au $4f_{7/2}$  のピークを 83.3 eV として求めたものである。P のピーク位置は単体の P の P $2p$  ピークの 129.7 eV<sup>9)</sup>,  $\text{P}_2\text{O}_5$  中の P $2p$  ピークの 135.0 eV<sup>10)</sup> のいずれよりもたしかに小さいところにある。この P の位置に相当するリンの化合物はまだ報告されていない。すなわち、粒界偏析した P は XPS 的には未知の化学結合状態にある。しかし、おそらく  $\text{Fe}_3\text{P}$  といった鉄との化合物中のリンの状態に近いと推察されるので、 $\text{Fe}_3\text{P}$  との比較を行つた。 $\text{Fe}_3\text{P}$  中の P $2p$  のスペクトルはまだ測定されていないので、 $\text{Fe}_3\text{P}$  についての分析を行つた。試料表面は空気中の O,  $\text{H}_2\text{O}$ ,  $\text{CO}_2$  などで汚染されているが、そのままの状態での分析結果を Fig. 3 に示す。Fe のピークは、この

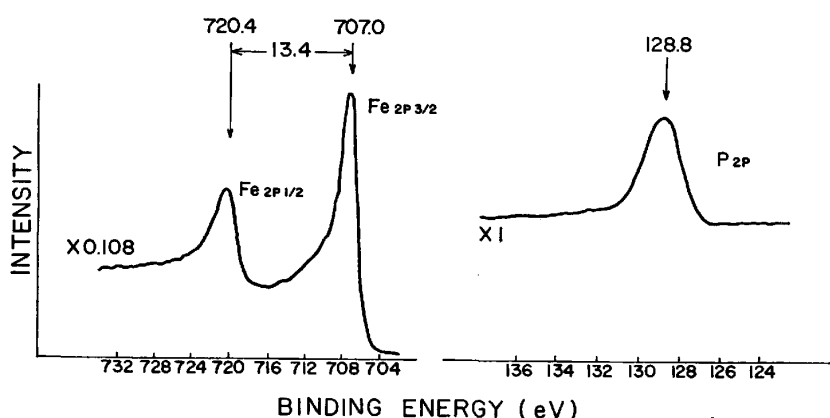


Fig. 4, XPS (for Fe and P) from the same specimen as in Fig. 3, but cleaned by Ar ion sputtering.

Fe がウスタイトのような Fe(II) の状態にあることを示す<sup>1)</sup>。また、P2pのピークは2つあり、128.8 eV のピークは上述のとおり未知のものであるが、133.0 eV のピークは、今までに報告されている結果と比べると、たとえば  $(C_8H_{17})_3PO$  中の P2p ピーク 132.6 eV にきわめて近い。これらの結果は、空气中に長時間さらしていちじるしく汚染された表面では  $Fe_3P$  中の P2p スペクトルを正確に求められないことを示している。そこで、 $5 \times 10^{-5}$  Torr の Ar ガス中で 2 kV で加速した Ar イオン・スペッタリングを行つたのち、XPS 分析を行つた。結果を Fig. 4 に示す。Fe2p<sub>1/2</sub>, Fe2p<sub>3/2</sub> のピークは金属状の Fe のピークと同じ位置になり、P2p の 133.0 eV のピークは消え、128.8 eV のピークだけとなつた。すなわち、128.8 eV のピークは  $Fe_3P$  中の P2p のピークであると結論できる†。したがつて、粒界偏析した P の化学結合状態は  $Fe_3P$  中の P の結合状態と同じものであることが結論される。なお、Fe-0.1%P、および Fe-0.05%P 合金についても、粒界偏析した P について全く同じ結果が得られている。

粒界に偏析した P は  $Fe_3P$  中の P と同じ化学結合状態にあることがわかつたが、このことは、P が粒界に  $Fe_3P$  として析出していることを意味するものではない。透過電顕法では粒界に析出物の存在は認められなかつたし、Ar イオン・スペッタリング後の AES 分析では、P の偏析は粒界面から数原子層の間に限定されていることが示された。かりに  $Fe_3P$  結晶と同じ結晶構造を考えるとすれば、きわめて薄い2次元的な形というべきである。また、粒界偏析した P 濃度の高い領域の厚さを推定する方法を提案した論文においては<sup>12)</sup>、表現の便宜上、粒界面およびその直下の原子層において、P が  $Fe_3P$  の組成で

一様に分布しているとして偏析層の厚さを算出したが、P の分布は一様とは限らない。粒界面上で、P 濃度の高い領域が島状に分散している可能性も考えられる。いずれにせよ、本実験の結果は偏析した P の化学結合状態についての情報を与えるのみであつて、P の結晶学的存在形態や分布についての情報を与えるものではないことを注意しておきたい。

以上の結果は、P の偏析による Fe の粒界結合力の低下については、Losch らのモデルを支持している。SEAH のモデルは、すでに述べたようにその仮定や近似に無理があるようと思われるが、本実験の結果だけで SEAH のモデルを積極的に否定することはできない。SEAH のモデルのひとつの仮定となつている固溶した P 原子のそのままわりの Fe 原子との結合状態が偏析した場合も変わらないという点について、本研究の XPS 分析では検討することができなかつた。すなわち、この点の検証には Fe 中に固溶した P について XPS 分析を行う必要があるが、そのためには開面で XPS 測定を行おうとすると、測定にかかる P の量が非常に少なくて測定は事実上不可能である。したがつて、固溶した P と偏析した P について XPS 分析で結合状態を比較することは現在は不可能である。

### 3.3 P のオージェ電子スペクトルの形状の P 濃度依存性

オージェ電子スペクトルの形状およびピーク位置などは、対象となつている原子の結合状態にはほとんど影響されないとされているが、スペクトルの微分曲線の形が結合状態に依存するという報告もある<sup>13)</sup>。AES は XPS に比べると感度がよいので、開面について、すなわち固溶状態の P について分析することが可能である。そこで、開面と粒界面とで P のオージェスペクトルの形（微分形）がどう変わるかを調べて、結合状態についての情報が得られるか否かを検討した。

Fig. 5 は、0.05, 0.11, 0.53, 1.0, 1.7, 2.0, 2.8,

† 用いた  $Fe_3P$  試料は柱状晶であり、柱状晶間に若干の不純物、特に O<sub>x</sub> の存在することが考えられる。本実験での結果にはそれら不純物の影響が全くないとは言いきれないが、このピークは純粋な  $Fe_3P$  のものとは断定できないが、不純物量は少ないので  $Fe_3P$  のものとしてよい。

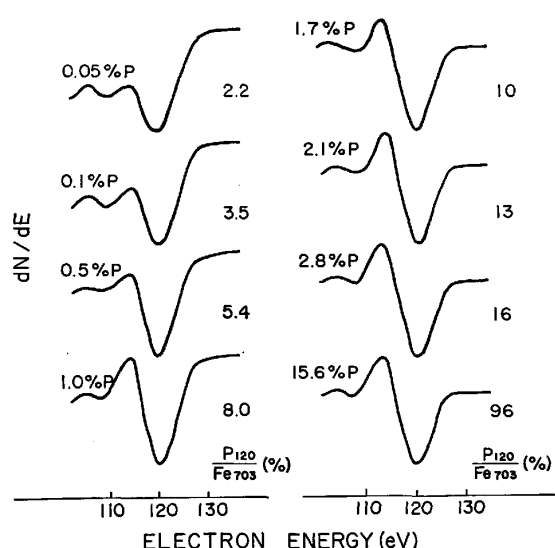


Fig. 5. AES of phosphorus taken from the cleavage fracture surface of Fe-P alloys. The P concentration is shown in the figure. The number on the right of each spectrum is the actual peak-to-peak height ratio ( $P_{120}/P_{703}$ ).

および 15.6%<sup>†2</sup> の P を含む試料のへき開面からの P のスペクトルを示す。P の濃度に応じて縦軸のスケールを変えてピーク高さを揃えてある。P 濃度にしたがつてスペクトルの形が変化している。Fig. 6 は同じ試料の粒界破面からのスペクトルである。やはり縦軸のスケールを変えている。Fig. 5 に示した  $Fe_3P$  に対するものも含めて、曲線はたがいにぴったり重ね合せることができる。すなわち、粒界偏析した P も  $Fe_3P$  中の P も同じ形のスペクトルを示す。(今後縦軸のスケールを変えることで曲線を重ねることができる場合、スペクトルの形が同じであるといふ。) Fig. 7 はモジュレーション 1 eV で測定した Fe-1%P 合金の粒界破面からの P のスペクトルである。その形は時間がたつても全く変化しない。もしもオージェ電子スペクトルの形がその元素の化学結合状態を反映するものであれば、Fig. 6 の結果は、粒界偏析した P と  $Fe_3P$  中の P とは同じ結合状態であるといふ前節の結論と一致し、Fig. 5 の結果と比較すれば、固溶した P の結合状態は P 濃度に依存し、偏析した P の状態とは異なると言えよう。しかし、現在ではここまで結論することはむずかしい。オージェ電子スペクトルの形の変化は、たとえばバックグラウンドをどう差し引くかと言つた装置自体の特性によつておこることも考えられるからである。オージェ電子スペクトルの形から結合状態を議論するためには、より一層の理論的、実験的研究が必要である。

<sup>†2</sup> この Fe-15.6%P 合金 ( $Fe_3P$  の組成に相当) は粉末鉄と赤リンを混合反応させて作った。

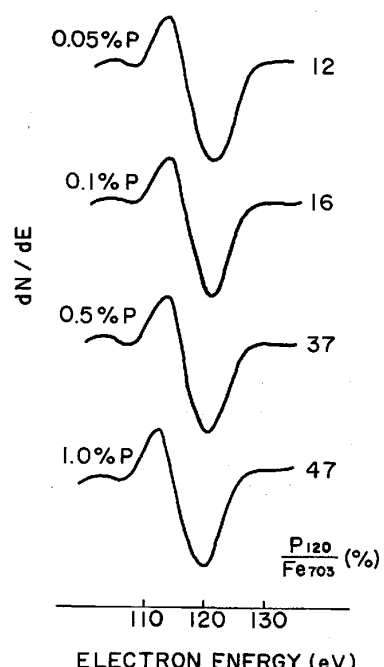


Fig. 6. AES of phosphorus segregated to grain boundaries in Fe-P alloys with various P concentrations. Since fracture mode is not intergranular but cleavage in alloys with more than 1.7%P, their spectra are not shown.

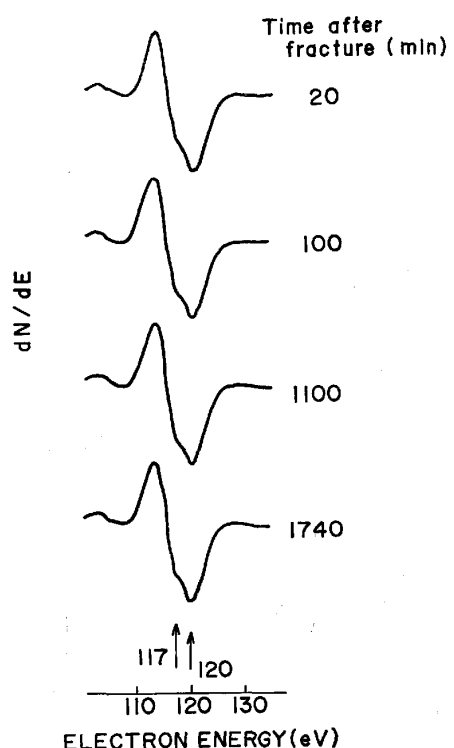


Fig. 7. AES of phosphorus segregated at grain boundaries in an Fe-1.0%P alloy (modulation-1 eV). The shape of the curve does not change with time after fracture.

Fig. 5 および Fig. 6 の結果では固溶したPの状態についての結論は得られなかつたが、この結果は粒界偏析したPの定量分析に際して注意すべき点を示している。すなわち、Fig. 5 の結果から偏析したPの定量分析のための検量線を作ることはできないということである。通常AES分析によつて定量分析する時には、スペクトルの微分曲線  $dN/dE$ ( $N$ はエネルギー  $E$  のオージュ電子数)のピークからピークまでの距離(ピーク高さ  $I_p$ )をとり、これを濃度既知の試料について求めて検量線を作り、濃度未知の試料からの結果と比較する。しかし、 $I_p$  の比較で分析される原子の量——つまり  $N(E)$  の積分値——の比較ができるためには、縦軸のスケールを変えて  $dN/dE$  曲線を重ねることができなければならぬ。従来のAES分析による定量分析においてはこの点に対する考慮がなされていない。Fe中のCr, Ni, Moという合金元素については、合金濃度と  $I_p$  が比例することを示して、 $I_p$  を用いることの妥当性を主張した研究はあるが<sup>14)</sup>、曲線の形を検討した例はない。本研究の結果は、固溶したPの濃度とへき開面で測定した  $I_p$  の間にはほぼ直線関係が成立するものの、そのことだけではこの結果を外挿して偏析したPの定量分析を行つてよいことにはならないことを示している。粒界偏析したPについては、 $\text{Fe}_3\text{P}$ (粒界での濃度に換算して 25 at. %)のPからの  $I_p$  と比較して定量するか、あるいはPを約3 wt. %以上固溶した試料のへき開面からの  $I_p$  を用いなければならない。低濃度のPを含む試料のへき開面からのスペクトルの  $I_p$  を標準にすると、 $\text{Fe}_3\text{P}$ からのスペクトルの  $I_p$  を標準にした場合よりも30%くらい低く、P濃度を推定することになる。他の元素を定量分析する場合にも固溶量と  $I_p$  との比例関係もさることながら、厳密には常に  $dN/dE$  曲線の形について検討することが必要である。

#### 4. 結 論

種々の量のPを含むFe-P合金について、残留ガスによる破面汚染のおこらない超高真空中で試験片を破断

し、XPS ならびにAES分析を行つた。

粒界に偏析したPの化学結合状態は  $\text{Fe}_3\text{P}$  中のPのそれと同じである。たゞし、このことはPが粒界に  $\text{Fe}_3\text{P}$  として析出していることを意味するものではない。Pは粒界面から数原子層のごく薄い領域に偏析している。化学結合状態についてのこの結論は、Pによる鉄の粒界結合力の低下に対する Losch のモデルを支持している。

素材電解鉄マイロンは東邦亜鉛株式会社から提供されたものであり、同社に対して深く謝意を表する。

#### 文 献

- 1) K. ABIKO, S. SUZUKI, and H. KIMURA: Trans. JIM 23 (1982), p. 43
- 2) M. P. SEAH: Acta Metall., 28 (1980), p. 955
- 3) W. G. HARTWECK: Scripta Metall., 15 (1981), p. 453
- 4) W. LOSCH: Acta Metall., 27 (1979), p. 1885
- 5) 小川孝好, 石田洋一: 日本国金属学会誌, 43 (1979), p. 1048
- 6) R. P. MESSMER and C. L. BRIANT: Acta Metall., 30 (1982), p. 457
- 7) C. L. BRIANT and R. P. MESSMER: Phil. Mag., 42 (1980), p. 569
- 8) 例えば, K. HIROKAWA, F. HONDA, and M. OKU: J. Electron Spectrosc. Related Phenom., 6 (1975), p. 333
- 9) M. PELVIN, D. N. HENDRICKSON, J. M. HOLLANDER, and W. L. JOLLY: J. Phys. Chem., 74 (1970), p. 1116
- 10) V. I. NEFEDOV, D. GATI, B. F. DZHURINSKII, N. P. SERGUSHIN, and Ya. V. SALYN: Zh Neorg. Khim., 20 (1975), p. 2307
- 11) K. HIROKAWA and M. OKU: Talanta, 26 (1979), p. 855  
M. OKU and K. HIROKAWA: J. Appl. Phys., 50 (1979), p. 6303
- 12) K. HIROKAWA, S. SUZUKI, K. ABIKO, H. KIMURA, and M. OKU: J. Electron Spectrosc. Related Phenom., 24 (1981), p. 243
- 13) D. F. STEIN, W. C. JOHNSON, and C. L. WHITE: Grain Boundary Structure and Properties, ed. by G. A. CHADWICK and D. A. SMITH (1976), p. 301 [Academic Press]
- 14) 小俣裕保, 小川洋之: 日本国金属学会誌, 42 (1978), p. 1200